

ارزیابی عددی ظرفیت بیرون‌کشش انکرهای مارپیچ چندصفحه‌ای در پایدارسازی شیروانی‌ها

مقاله علمی – پژوهشی

محمد عبدالی، دانش آموخته کارشناسی ارشد، دانشکده مهندسی عمران، دانشگاه یزد، ایران

حمید مهرنها^{*}، دانشیار، دانشکده مهندسی عمران، دانشگاه یزد، ایران

محمد حاذقیان، استادیار، دانشکده مهندسی عمران، دانشگاه یزد، ایران

* پست الکترونیکی نویسنده مسئول: hmehrnahad@yazd.ac.ir

دریافت: ۱۴۰۱/۰۴/۰۱ - پذیرش: ۱۴۰۱/۰۱/۱۵

صفحه ۲۹۰-۲۷۹

چکیده

امروزه روش‌های متعددی برای پایدارسازی گودهای ساختمانی و پایداری شیروانی‌ها در جاده‌ها وجود دارد. استفاده از انکرهای مارپیچ چندصفحه‌ای در پایدارسازی شیروانی‌ها، یکی از روش‌هایی است که در سال‌های اخیر از اقبال عمومی بالای برخوردار بوده است. گسترش استفاده از انکرهای مارپیچ سبب مطالعه‌های متعدد آزمایشگاهی، عددی و میدانی در این زمینه شده است. مطالعه حاضر با استفاده از نرم‌افزار FLAC3D به ارزیابی عددی سه‌بعدی ظرفیت باربری انکرهای مارپیچ چندصفحه می‌پردازد. بدین منظور ابتدا یک آزمون صحنتنگی برای تایید روش مدل‌سازی انجام می‌شود. سپس با انجام یک مطالعه پارامتری گستردگی، به مطالعه تاثیر پارامترهای مختلف بر ظرفیت باربری انکرهای مارپیچ پرداخته می‌شود. نتایج مطالعه حاضر نشان می‌دهد که ظرفیت باربری انکرهای مارپیچ با افزایش تراکم خاک و قطر صفحات افزایش می‌یابد. علاوه بر این، نتایج نشان می‌دهد افزایش چسبندگی خاک تاثیر چندانی بر ظرفیت باربری انکرهای مارپیچ ندارد. همچنین نتایج مطالعه حاضر نشان می‌دهد که سهم باربری صفحات در صورتی که فاصله صفحات از پنج برابر قطر آنها بیشتر باشد، تقریباً یکسان است. در این حالت مکانیزم گسیختگی صفحه منفرد غالب است. اما در صورتی که فاصله صفحات از پنج برابر قطر آنها کمتر شود، سهم باربر صفحه اول (نزدیکترین صفحه به دیواره گود) افزایش و سهم باربری سایر صفحات کاهش می‌یابد. در این حالت، مکانیزم گسیختگی برشی استوانه‌ای غالب است. بنابراین از نتایج مطالعه حاضر می‌توان فاصله بحرانی بین صفحات را پنج برابر قطر صفحات دانست.

واژه‌های کلیدی: انکر مارپیچ چندصفحه‌ای، ظرفیت باربری (بیرون‌کشش)، مدل‌سازی عددی، نرم‌افزار FLAC 3D

۱- مقدمه

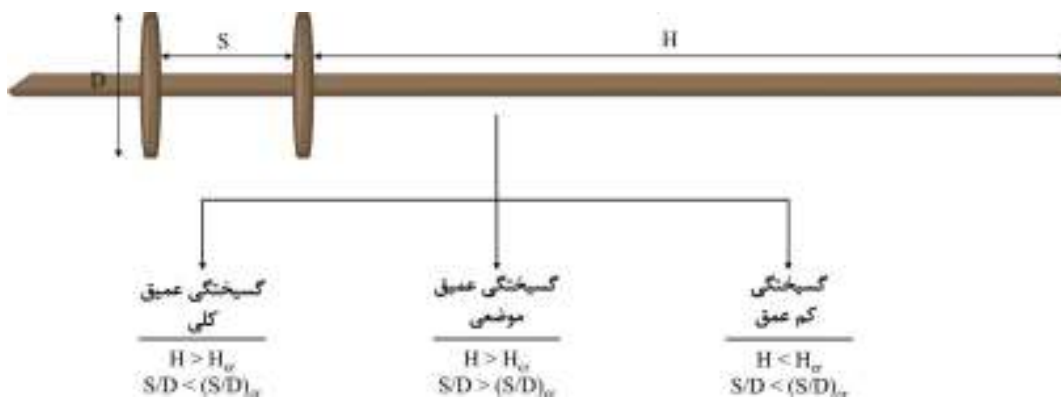
کمک کرده است. انکرهای مارپیچ شامل یک شفت فولادی هستند که تعدادی صفحه مارپیچ در قطرها، ضخامت‌ها و فواصل متعد بر روی آن نصب می‌شوند. از انکرهای مارپیچ تحت بارهای کششی، فشاری و دینامیکی استفاده می‌شود. نحوه گسیختگی انکرهای مارپیچ در خاک به سه نوع گسیختگی کم عمق،

با گسترش دانش مهندسی خصوصاً در زمینه ژئوتکنیک، امروزه روش‌های متعددی برای پایدارسازی یک گود ساختمانی و یا یک شیروانی وجود دارد. نصب آسان، دوستدار محیط‌زیست بودن و بهره‌برداری فوری پس از نصب، به محبوبیت و گسترش استفاده از انکرهای مارپیچ در راستای پایدارسازی گودها و شیروانی‌ها

می تواند رخ دهد. اگر فاصله بین صفحات از مقدار بحرانی بیشتر باشد، گسیختگی عمیق موضعی و اگر کمتر باشد، گسیختگی عمیق کلی رخ می دهد. در گسیختگی عمیق موضعی، هر صفحه مارپیچ مانند یک پی منفرد مدفون به صورت مجزا در برابری نقش ایفا می کند. به این نوع مکانیزم گسیختگی، صفحه منفرد نیز اطلاق می شود. در مکانیزم گسیختگی صفحه منفرد، ظرفیت باربری انکر برابر با مجموع ظرفیت باربری صفحات بعلاوه مقاومت اصطکاکی جداره شفت با خاک در طول H خواهد بود. اما در گسیختگی عمیق کلی، فاصله بین صفحات مارپیچ آنچنان کم است که گوشه های گسیختگی صفحات بایکدیگر تداخل پیدا می کنند. در این نوع مکانیزم گسیختگی، یک بلوك خاک استوانه ای بین صفحه های مارپیچ تشکیل می شود که به همراه آنها حرکت می کند. به این نوع مکانیزم گسیختگی، بر ش استوانه ای نیز اطلاق می شود. در مکانیزم گسیختگی برش استوانه ای، ظرفیت باربری انکر از مجموع ظرفیت باربری صفحه اول، مقاومت اصطکاکی جداره بلوك استوانه ای با خاک و همچنین مقاومت اصطکاکی جداره شفت با خاک در طول H محاسبه می شود.

Abdrabbo and El (et al. 2014), هارنیش و النگار (Harnish and El 2016) و ساکر (Naggar 2009) اشاره کرد. در ادامه چند مورد از آنها بررسی می شود.

گسیختگی عمیق موضعی و گسیختگی عمیق کلی تقسیم می شود، که انواع این گسیختگی به نسبت فاصله صفحه های مارپیچ از یکدیگر به قطر صفحات (S/D) و فاصله اولین صفحه مارپیچ از سطح دیواره خارجی گود (H) بستگی خواهد داشت. شکل ۱ انواع گسیختگی یک انکر مارپیچ را نشان می دهد. پارامترهای H_{cr} و $(S/D)_{cr}$ در شکل ۱ بترتیب فاصله بحرانی و نسبت S/D بـ H_{cr} با H_{cr} و $(S/D)_{cr}$ تعیین مکانیزم گسیختگی از مقایسه H و $(S/D)_{cr}$ در تحقیقات گذشته می شود. مقادیر متفاوتی برای H_{cr} و $(S/D)_{cr}$ در مطالعات کوآن و همکارانش بدست آمده است. بعنوان مثال، در مطالعات کوآن و همکارانش (Kwon et al. 2019) $(S/D)_{cr}=3$ و $H_{cr}=6D$ ، در دستورالعمل شرکت Rawat and Gupta 2017 است ($(S/D)_{cr}=3$ و $H_{cr}=5D$)،Chance 2004 (Chance 2004) بیان شده است. با توجه به اینکه در انکرهای مارپیچ، صفحات پشت گوشه گسیختگی قرار می گیرند (عموماً $H > H_{cr}$)، وقوع گسیختگی کم عمق نامحتمل است. اما گسیختگی عمیق موضعی یا کلی تاکنون مطالعات عددی، آزمایشگاهی و میدانی زیادی در زمینه انکرها و شمع های مارپیچ صورت پذیرفته است که می توان به مطالعات محمودی مهریزی و همکارانش (Mahmoodi Perez and Mehrizi et al. 2014)، پرز و همکارانش (Perez and Mehrizi et al. 2014)، پاپادوپولو و همکارانش (Papadopoulou et al. 2018)، پاپادوپولو و همکارانش (Sciavon 2018)



شکل ۱. انواع گسیختگی انکر مارپیچ در خاک بر حسب آرایش صفحه های مارپیچ

نسبت به دستخوردهای ناحیه دوم دارای مقاومت و سختی کمتری است. در ادامه به کمک نرم‌افزار FLAC 3D یک مدل‌سازی عددی انجام پذیرفت تا نتایج به دست آمده از آزمایش سانتریفیوژ شبیه‌سازی شود. در شبیه‌سازی‌ها مشخص شد که میزان کاهش مدول الاستیستیه در محدوده اول دستخوردهای برابر ۱۰ درصد و در محدوده دوم دستخوردهای برابر ۲۰ درصد است. پاپادوپولو و همکارانش (Papadopoulou et al. 2014) با انجام مطالعه آزمایشگاهی بر روی ریزشمع مارپیچ با یک، دو و سه صفحه مارپیچ و شبیه‌سازی آن به کمک نرم‌افزار PLXIS 2D به این نتیجه رسیدند که چسبندگی خاک در خاک‌های چسبنده زمانی بر روی ظرفیت باربری نهایی تاثیرگذار است که تعداد صفحات مارپیچ بیشتر از یک عدد باشد. این موضوع برای ریزشمع مارپیچ تحت نیروی کششی و فشاری در خاک‌های چسبنده صادق است. مطالعه حاضر با استفاده از یک روش مدل‌سازی عددی سه‌بعدی به ارزیابی ظرفیت باربری (ظرفیت کششی) انکرهای مارپیچ می‌پردازد. بدین منظور، یک مطالعه پارامتری مبسوط انجام می‌شود تا تاثیر پارامترهای متفاوت شامل تراکم و چسبندگی خاک، سربار اعمالی، قطر و فاصله صفحات بر مقدار ظرفیت باربری انکرهای مارپیچ ارزیابی شود. همچنین سهم باربری صفحات و شفت مورد مطالعه قرار می‌گیرد که در تحقیقات پیشین کمتر به آن پرداخته شده است. در مطالعه حاضر نشان داده می‌شود که با استفاده از سهم باربری صفحات می‌توان وقوع انواع مکانیزم گسیختگی (صفحه‌ای منفرد و برشی استوانه‌ای) در انکرهای مارپیچ چندصفحه را تشخیص داد.

مخصوص، زاویه اصطکاک، چسبندگی و مدول الاستیستیه خاک بترتیب $17/4$ کیلونیوتون بر متر مکعب، $33/6$ درجه، صفر و 50 مگاپاسکال فرض شدند. شفت و صفحات فولادی الاستیک و با مدول الاستیستیه 200 گیگا پاسکال و ضریب پواسون $0/3$ فرض شدند. شایان ذکر است که برای شفت و صفحات بترتیب از المان‌های میله و لاینر (Itasca Consulting Group 2017) استفاده شد. مشخصات اندرکنشی المان‌های میله و لاینر با خاک براساس راهنمای نرم‌افزار FLAC 3D تعیین شد.

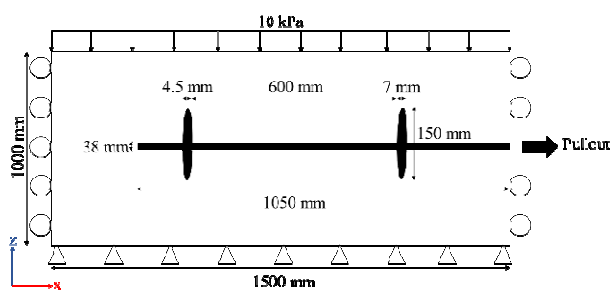
Mahmoodi Mehrizi (et al. 2014) به بررسی پیشینه استفاده از انکرهای مارپیچ در پایدارسازی گودها پرداختند. طبق بررسی انجام شده در این مطالعه، دیوارهای حائل به کمک انکرهای مارپیچ به چهار روش مختلف ساخته می‌شوند که شامل: دوخت به پشت، مشبك، دیوار تقویتی و دیوار با پشته است. استفاده از دیوار حائل با روش دوخت به پشت به کمک انکرهای مارپیچ بسیار رایج است. از طرف دیگر، این مطالعه به بررسی شرایطی پرداخته است که نصب انکرهای مارپیچ در آن‌ها توصیه نمی‌شود. عنوان مثال، نصب انکرهای مارپیچ در سنگ‌ها و خاک‌های دارای قلوه سنگ توصیه نمی‌شود، زیرا وجود این موضع در دل خاک می‌تواند سبب تغییر جهت انکرهای مارپیچ شود. پرز و همکارانش (Perez and Sciavon 2018) یک مطالعه آزمایشگاهی- عددی انجام دادند. در این مطالعه ابتدا یک نمونه کوچک شمع مارپیچ تک صفحه‌ای در داخل خاک قرار گرفت. به کمک آزمایش سانتریفیوژ نحوه دستخوردهای خاک در هنگام نصب شمع مارپیچ بررسی شد و با عکس‌برداری میکروتوموگرافیک، که به کمک اشعه ایکس انجام می‌گیرد، محدوده دقیق دستخوردهای مشخص شد. ناحیه دستخوردهایی اول که بینترین میزان دستخوردهای را دارد است، دقیقاً به اندازه قطر صفحه مارپیچ است و ناحیه دستخوردهای دوم که بین ناحیه دستخوردهای و ناحیه دستخوردهای اول قرار دارد به اندازه $0/27$ قطر صفحه مارپیچ است و به صورت یک حلقه با ضخامت $0/27$ در محیط محدوده اول قرار می‌گیرد. مقاومت و سختی نواحی دستخوردهای کمتر از نواحی دستخوردهای اول، همچنین دستخوردهای ناحیه اول

۲- صحت‌سنجی

به منظور صحت‌سنجی روش مدل‌سازی عددی، یک آزمون آزمایشگاهی شامل کشش یک میخ مارپیچ دو صفحه که توسط تختی و همکارانش (Tokhi et al. 2017) انجام شده است، شبیه‌سازی شد. شکل ۲ (الف) جزئیات مدل صحت‌سنجی و شرایط مرزی را نشان می‌دهد. در مدل‌سازی عددی، تمامی مشخصات مدل شامل هندسه و مشخصات میخ مارپیچ، هندسه جعبه آزمایش، مشخصات خاک و همچنین سربار اعمال شده مشابه با آزمون صحت‌سنجی در نظر گرفته شده است. مدل رفتاری موهر کولمب برای خاک در نظر گرفته شد. وزن

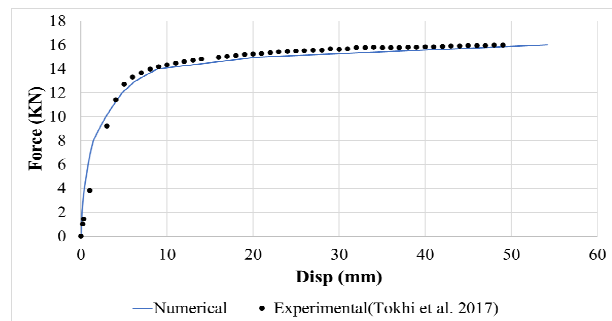
شد تا به تعادل برسد. مراحل اعمال بارگذاری تا جابجایی ۵۰ mm ادامه یافت. شکل ۲ (ب) منحنی های نیرو-جابجایی عددی و تجربی را مقایسه می کند. همانطور که مشاهده می شود، تطابق بسیار خوبی بین آنها وجود دارد. این تطابق صحت روش مدل سازی و نرم افزار استفاده شده را تایید می کند.

در ادامه روند شبیه سازی عددی توضیح داده می شود: در ابتدا تنש های اولیه در بلوك خاک ایجاد و سپس سریار به بالای بلوك خاک اعمال شد. بعد از به تعادل رسیدن نمونه خاک، میخ مارپیچ به صورت گام به گام تحت کشش قرار گرفت. در هر گام، مقدار ۱ کیلونیوتن نیرو به سر میخ مارپیچ اعمال و به مدل اجازه داده



الف

شکل ۲. الف) مشخصات مدل صحت سنجی و شرایط مرزی، ب) مقایسه منحنی های نیرو- جابجایی عددی و آزمایشگاهی



ب

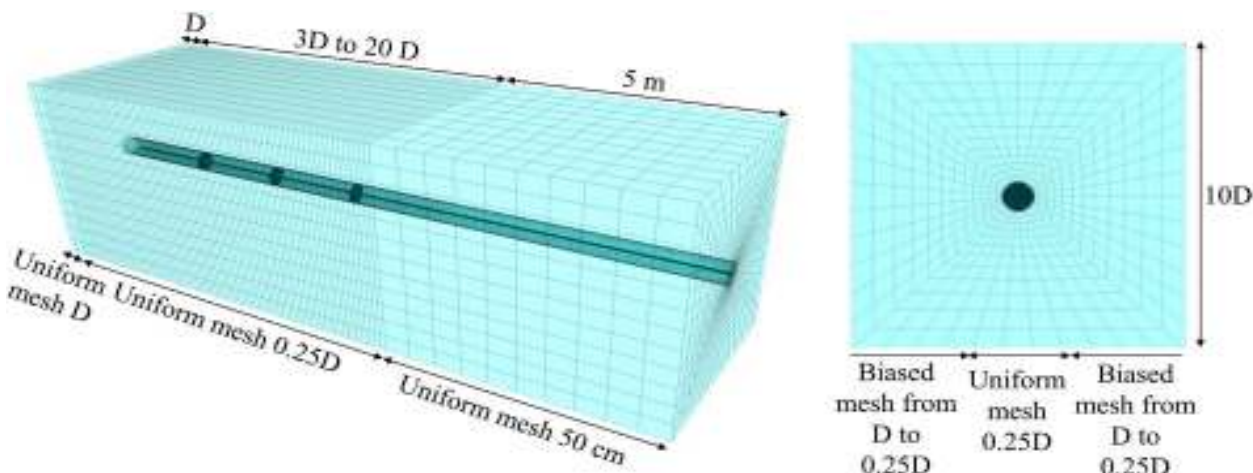
۳- توصیف مساله و فرضیات مدل سازی عددی

۳-۱- هندسه مدل و مشخصات خاک

خاک در نظر گرفته شد. مقدار زاویه اتساع خاک (ψ) برابر با 30° و ضریب پوآسون $0.3/3$ فرض شد که ϕ زاویه اصطکاک داخلی خاک است. مقدار ضریب فشار جانبی خاک در حالت سکون $K_0 = 1 - \sin\phi$ فرض شده است.

شکل ۳ ابعاد و الگوی مشیندی هندسه مدل را نشان می دهد. شرایط مرزی مشابه با آزمون صحت سنجی فرض شده است (شکل ۲، الف).

در مطالعه حاضر از ۵ نوع خاک استفاده شده است. جدول ۱ مشخصات آنها را نشان می دهد. مدل رفتاری موهر کولمب برای



شکل ۳. هندسه و الگوی مشیندی مدل سه بعدی برای انکرهای مارپیچ

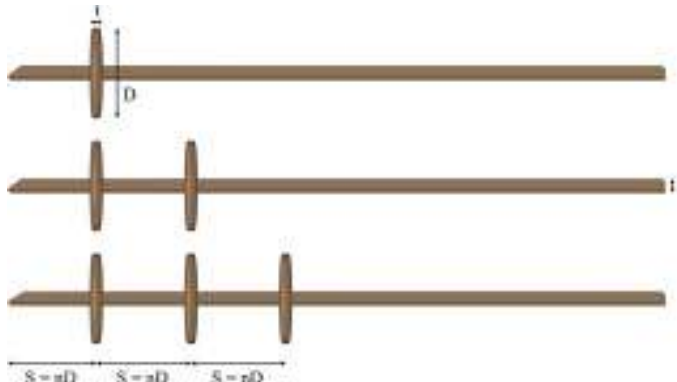
جدول ۱. مشخصات انواع خاک مورداستفاده در مطالعه حاضر

انواع خاک					تراکم خاک
۵	۴	۳	۲	۱	
خیلی متراکم	متراکم	متوسط	شل	خیلی شل	درصد تراکم نسبی (درصد)
۱۰۰	۸۵	۶۵	۳۵	۱۵	۰/۵
۰/۵	۰/۵۶	۰/۶۴	۰/۷۶	۰/۸۴	وزن مخصوص (کیلو نیوتن بر متر مکعب)
۱۹/۰	۱۸/۳	۱۷/۴	۱۶/۲	۱۵/۵	مدول الاستیسیته (مگاپاسکال)
۸۰	۶۵	۵۰	۲۵	۱۰	زاویه اصطکاک داخلی (درجه)
۴۵	۴۱	۳۶	۳۰	۲۸	

۳-۲-مشخصات انکرهای مارپیچ

صفحات با قطر ۲۰-۴۰ سانتی متر و ۵۰-۶۰ سانتی متر به ترتیب ۵۷ و ۷۳ میلی متر فرض شد. شفت و صفحات مارپیچ به صورت الاستیک فرض شدند. مدول الاستیسیته و ضریب پواسون آنها بر ترتیب ۲۰۰ گیگا پاسکال و ۰/۳ فرض شدند. شایان ذکر است که برای شفت و صفحات بر ترتیب از المان های میله و لاینر (Itasca Consulting Group 2017) استفاده شد. مشخصات اندرکنشی المان های میله و لاینر با خاک براساس راهنمای نرم افزار FLAC3D تعیین شد.

در مطالعه حاضر، پنج قطر (D) ۲۰-۶۰ سانتی متر برای صفحات مارپیچ در نظر گرفته شده است. همچنین فاصله بین صفحات (S) یک تا هشت برابر قطر صفحات می تواند تغییر کند ($S = nD$). شکل ۴ نمای کلی از انکرهای مارپیچ تک صفحه، دو صفحه و سه صفحه را نشان می دهد. مطابق با راهنمای Chance 2004، ضخامت صفحه های مارپیچ (t) با قطر ۲۰-۴۰ سانتی متر و ۵۰-۶۰ سانتی متر به ترتیب ۱۳ و ۱۹ میلی متر فرض شد. همچنین بعد شفت (الف) انکر برای



شکل ۴. نمای کلی از انکرهای مارپیچ مورد استفاده در مطالعه عددی حاضر

۳-۳-مطالعه پارامتری

مختلف در این مطالعه پارامتری را نشان می دهد. مشخصات مربوط به آنالیزهای مرجع پررنگ شده است. شایان ذکر است که مطالعه پارامتری جدول ۲ برای انکرهای تک، دو و سه صفحه انجام شده است.

به منظور بررسی اثر پارامترهای مختلف شامل نوع خاک، سربار، چسبندگی خاک، قطر و فاصله صفحات بر ظرفیت باربری انکرهای مارپیچ تک، دو و سه صفحه، یک مطالعه پارامتری مبسوط با ۶۵ آنالیز انجام شد. جدول ۲ محدوده پارامترهای

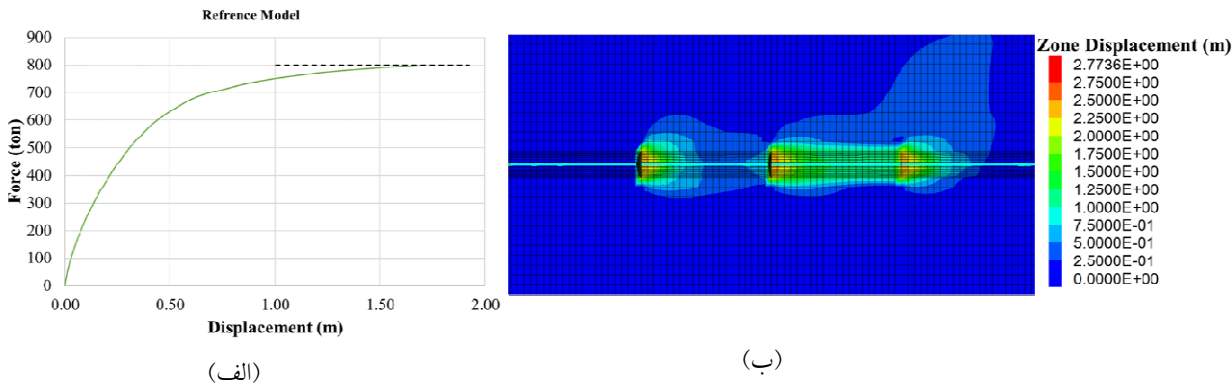
جدول ۲. محدوده پارامترهای مختلف در مطالعه پارامتری

نوع خاک	۵، ۴، ۳، ۲ و ۱
سربار (کیلوپاسکال)	۳۴۵، ۱۷۵، ۲۳۰، ۲۸۵ و ۱۲۵
چسبندگی خاک (کیلوپاسکال)	۲۰، ۱۵، ۱۰ و ۵
قطر صفحه مارپیچ (سانتی متر)	۶۰، ۵۰، ۴۰، ۳۰، ۲۰
نسبت فاصله صفحات به قطر صفحات مارپیچ	۱، ۳، ۴، ۵، ۶، ۷ و ۸

۴-۳- روش انجام آنالیز عددی

نمودار نیرو-جابجایی ادامه می‌یابد. شکل ۵ نمودار نیرو-جابجایی و کانتور جابجایی کل در انتهای آنالیز برای مدل مرجع سه‌صفحه‌ای را نشان می‌دهد. مجانب نمودار نیرو-جابجایی (در اینجا حدود ۸۰۰ تن) را می‌توان به عنوان ظرفیت بیرون‌کشش (ظرفیت باربری) انکر در نظر گرفت.

شبیه‌سازی عددی عملیات کشش انکرهای مارپیچ در سه گام انجام می‌شود: ۱) ابتدا سربار به سطح بالایی مدل اعمال می‌گردد و تنش‌های اولیه در بلوك خاک تولید می‌شود. ۲) انکر مارپیچ در بلوك خاک فعال می‌شود. ۳) نیروی کششی به صورت مرحله‌ای به سر انکر اعمال می‌شود. عملیات کشش انکر تا مجانب شدن



شکل ۵. مدل مرجع سه‌صفحه‌ای: (الف) نمودار نیرو-جابجایی ب) کانتور جابجایی کل در انتهای آنالیز

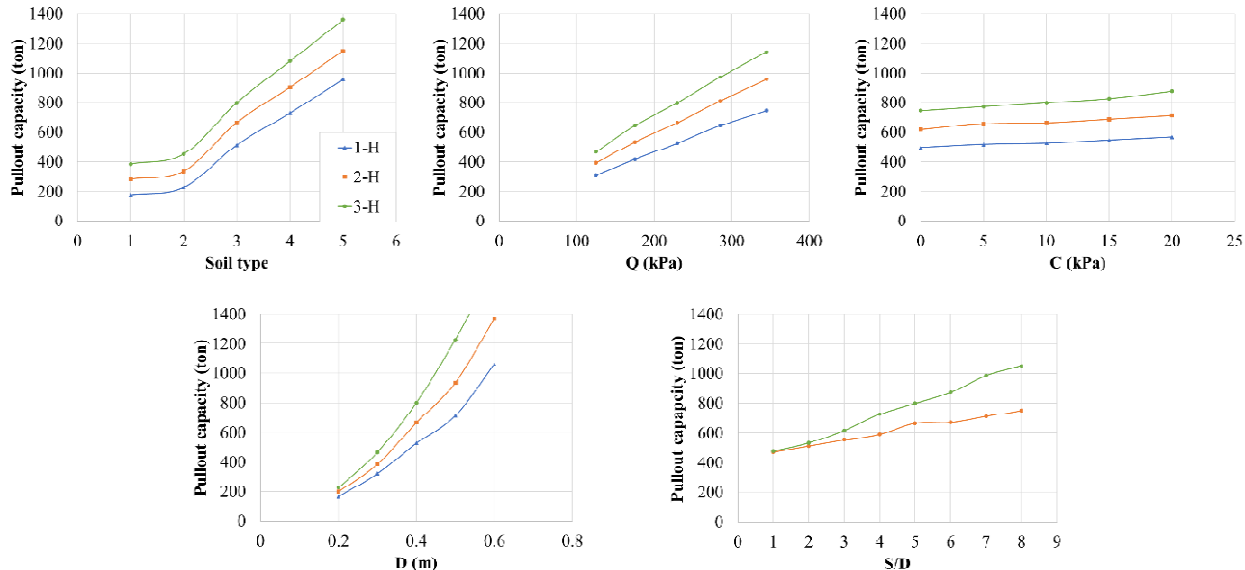
۴- بحث و نتایج

۱۳ درصد و انکرهای سه‌صفحه‌ای ۱۵ درصد افزایش می‌یابد. این نشان می‌دهد تاثیر چسبندگی خاک بر روی ظرفیت باربری انکرهای مارپیچ با افزایش تعداد صفحات افزایش می‌یابد. با افزایش قطر صفحات (D)، ظرفیت باربری انکرهای مارپیچ افزایش می‌یابد. ظرفیت انکرهای مارپیچ دو و سه‌صفحه‌ای در حالتی که نسبت فاصله بین صفحه‌های مارپیچ به قطر صفحه‌های مارپیچ (نسبت S به D) یک تا دو است، تقریباً برابر است. با افزایش S/D به ۳ و مقادیر بیشتر، ظرفیت باربری انکرهای سه‌صفحه از دو صفحه بزرگتر می‌شود.

شکل ۶ تغییرات ظرفیت بیرون‌کشش (ظرفیت باربری) انکرهای مارپیچ تک (1-H)، دو (2-H) و سه‌صفحه (3-H) بر حسب پارامترهای مختلف را نشان می‌دهد. همانطور که مشاهده می‌شود، ظرفیت باربری انکرهای مارپیچ با افزایش تراکم خاک افزایش می‌یابد. نرخ این افزایش با تغییر نوع خاک از ۲ به ۳ بشدت افزایش می‌یابد. با افزایش مقدار سربار (Q)، ظرفیت بیرون‌کشش انکرها به طور پیوسته افزایش می‌یابد. با افزایش چسبندگی خاک (C) از صفر تا ۲۰ کیلوپاسکال، ظرفیت باربری انکرهای تک صفحه‌ای ۱۲ درصد، انکرهای دو صفحه‌ای

و شفت) و سه صفحه‌ای (صفحه اول، صفحه دوم و صفحه سوم) در انتهای کشش بر حسب S/D را نشان می‌دهد. اعداد داخل پرانتز درصد سهم هر جز را نشان می‌دهند. در مطالعات گذشته کمتر سهم برابری صفحات مورد توجه قرار گرفته است.

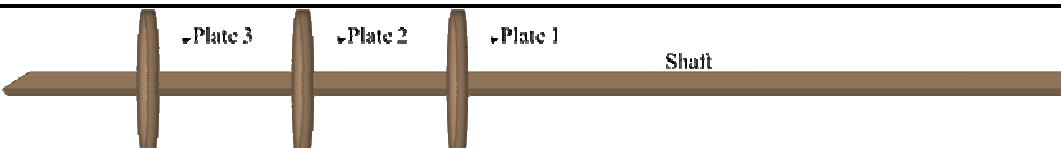
هنگامی که یک انکر مارپیچ تحت کشش قرار می‌گیرد، نیروی کششی اعمال شده بین اجزای آن شامل صفحات (مقاومت پسیو صفحات با خاک) و شفت (نیروی اصطکاکی جداره شفت با خاک) توزیع می‌شود. جدول ۳ و جدول ۴ بترتیب سهم برابری هر جز از انکرهای مارپیچ دو صفحه‌ای (صفحه اول، صفحه دوم



شکل ۶. تغییرات ظرفیت باربری انکرهای مارپیچ تک، دو و سه صفحه‌ای با تغییر پارامترهای مختلف

جدول ۳. سهم باربری اجزای انکرهای مارپیچ دو صفحه‌ای برای S/D های مختلف

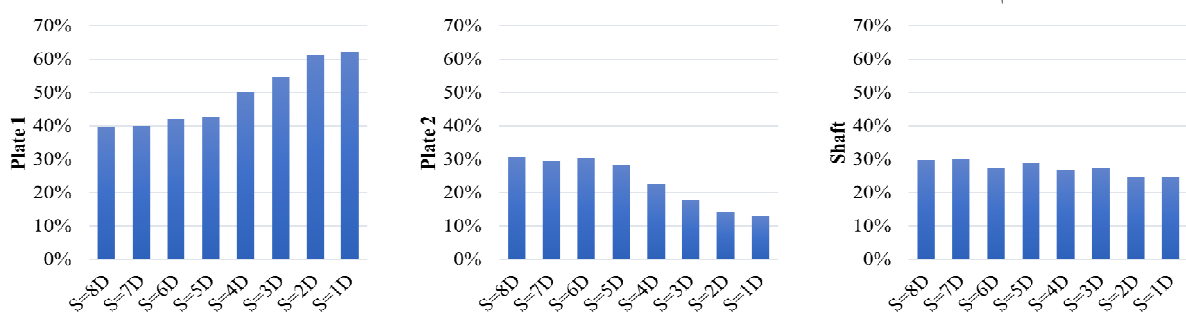
S/D	Plate 2 (ton)	Plate 1 (ton)	Shaft (ton)	Total force (ton)
8	229 (30%)	298 (40%)	224 (30%)	751
7	211 (30%)	285 (40%)	215 (30%)	711
6	204 (30%)	282 (42%)	185 (28%)	671
5	188 (28%)	285 (43%)	192 (29%)	665
4	134 (23%)	297 (50%)	160 (27%)	591
3	99 (18%)	301 (55%)	150 (27%)	550
2	72 (14%)	313 (61%)	125 (25%)	510
1	61 (13%)	293 (62%)	117 (25%)	471

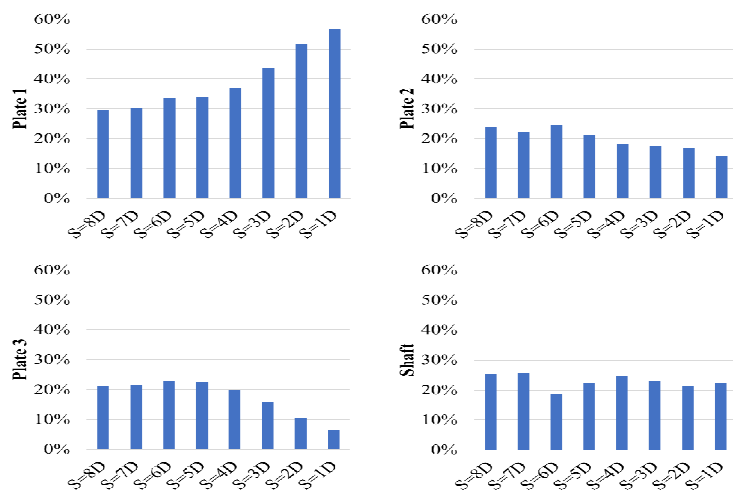
جدول ۶. سهم باربری اجزای انکرهای مارپیچ سه صفحه‌ای برای S/D های مختلف


S/D	Plate 3 (ton)	Plate 2 (ton)	Plate 1 (ton)	Shaft (ton)	Total Force (ton)
8	223 (21%)	249 (24%)	311 (30%)	267 (25%)	1050
7	213 (22%)	220 (22%)	300 (30%)	253 (26%)	986
6	200 (23%)	213 (24%)	295 (34%)	164 (19%)	872
5	180 (23%)	170 (21%)	272 (34%)	177 (22%)	799
4	145 (20%)	132 (18%)	269 (37%)	179 (25%)	725
3	97 (16%)	109 (17%)	270 (44%)	140 (23%)	616
2	56 (11%)	90 (17%)	274 (51%)	111 (21%)	531
1	31 (6%)	68 (14%)	272 (57%)	106 (23%)	477

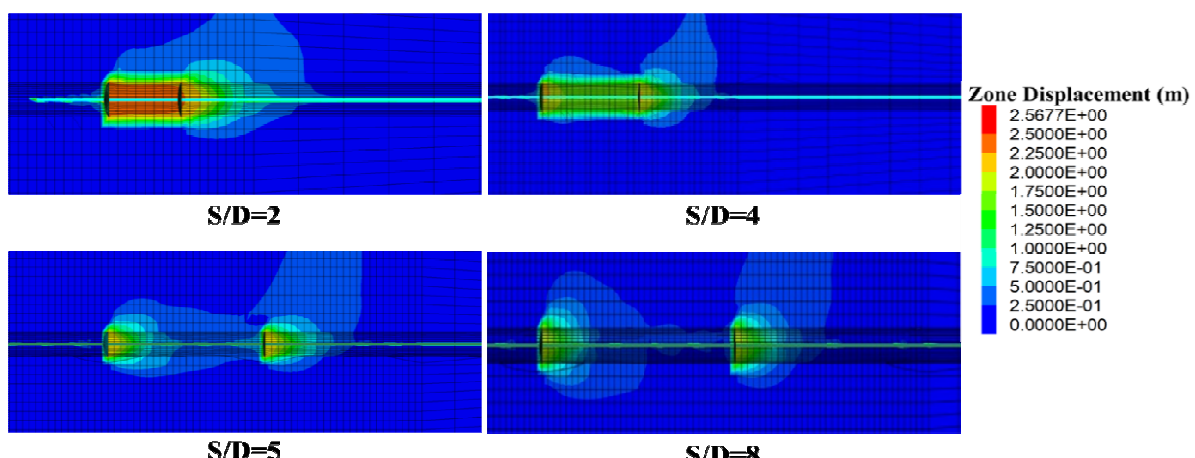
تغییر فاز می‌دهد. در این نوع مکانیزم گسیختگی، صفحه اول بهمراه مقاومت اصطکاکی بلوك خاک استوانه‌ای گسیخته شده بیشترین تأثیر در ظرفیت باربری انکر را دارند. بنابراین بدیهی است که سهم باربری صفحه اول نسبت به سایر صفحات افزایش یابد. کانتورهای جابجایی کل برای انکرهای مارپیچ دو صفحه و سه صفحه در شکل‌های ۹ و ۱۰ این نتیجه را تایید می‌کند. همانطور که مشاهده می‌شود، برای $S/D=2,4$, نواحی گسیختگی تشكیل شده در اطراف صفحات کاملاً در یکدیگر فرورفتند که نشان‌دهنده نوع مکانیزم گسیختگی بلوكی استوانه‌ای است. برای $S/D=8$, این نواحی گسیختگی کاملاً از یکدیگر مجزا هستند که نشان‌دهنده نوع مکانیزم گسیختگی صفحه منفرد است. برای $S/D=5$, همانطور که مشاهده می‌شود، نواحی گسیختگی اطراف صفحات در حال جدایی از یکدیگر هستند. بنابراین $S/D=5$ را می‌توان مرز تغییر نوع مکانیزم گسیختگی از صفحه منفرد به بلوكی استوانه‌ای یا همان $(S/D)_{cr}$ (دانست).

شکل ۷ و شکل ۸ بترتیب سهم باربری اجزای انکرهای مارپیچ دو صفحه و سه صفحه بر حسب S/D را نشان می‌دهد. همانطور که مشاهده می‌شود، سهم باربری شفت با افزایش فاصله بین صفحات افزایش می‌یابد. در مجموع سهم باربری شفت در انکرهای مارپیچ دو صفحه و سه صفحه کمتر از 30° درصد است که با افزایش تعداد صفحات کاهش می‌یابد. علاوه بر این، سهم باربری صفحه اول از $S/D=8$ تا حدود $S/D=5$ ثابت می‌ماند. با کاهش بیشتر S/D , سهم باربری صفحه اول با نزد قابل توجیه افزایش و سهم باربری سایر صفحات با نزد قابل توجهی کاهش می‌یابد. این را می‌توان به تغییر نوع مکانیزم گسیختگی انکرهای چندصفحه از صفحه منفرد به برش استوانه‌ای دانست. برای $S/D=6-8$, مکانیزم گسیختگی غالب برای انکرهای مارپیچ چندصفحه از نوع صفحه منفرد است. در این نوع مکانیزم گسیختگی، صفحات مارپیچ به صورت پی‌های مجزا عمل می‌کنند و نیروی کششی انکر به صورت مساوی بین آنها تقسیم می‌شود. اما برای $S/D<5$ مکانیزم گسیختگی غالب به برشی استوانه‌ای

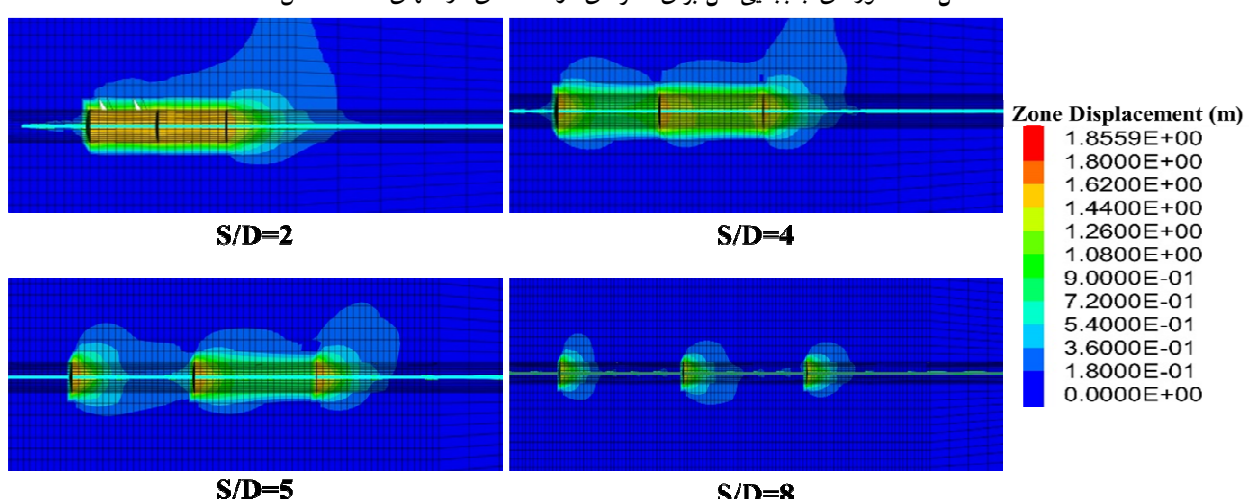
شکل ۷. سهم باربری اجزای انکرهای مارپیچ دو صفحه‌ای برای S/D های متفاوت در انتهای تست کشش



شکل ۸. سهم باربری اجزای انکرهای مارپیچ سهصفحه‌ای برای S/D های مختلف در انتهای تست کشش



شکل ۹. کانتورهای جابجایی کل برای انکرهای دو صفحه‌ای در انتهای تست کشش



شکل ۱۰. کانتورهای جابجایی کل برای انکرهای سه صفحه‌ای در انتهای تست کشش

۵- نتیجه‌گیری

است که نشان‌دهنده وقوع مکانیزم گسیختگی صفحه منفرد است. اما با کاهش این نسبت به کمتر از ۵ ($S/D < 5$)، سهم باربری صفحه اول افزایش و سهم باربری سایر صفحات کاهش می‌یابد. این را می‌توان به تغییر نوع مکانیزم گسیختگی از صفحه منفرد به برشی استوانه‌ای نسبت داد. نتایج مطالعه حاضر نشان می‌دهد که نسبت بحرانی فاصله صفحات به قطر $D_{cr} = 5$ ($S/D = 5$) است.

از کانتورهای جابجاگی کل در انتهای تست کشش نتیجه می‌شود که برای $S/D > 5$ ، نواحی گسیختگی در اطراف صفحات کاملاً از یکدیگر جدا می‌شوند (مکانیزم گسیختگی صفحه منفرد). اما برای $S/D < 5$ ، این نواحی کاملاً در یکدیگر تداخل پیدا می‌کند (مکانیزم گسیختگی برشی استوانه‌ای). برای $S/D = 5$ ، نواحی گسیختگی در اطراف صفحات در حال جدا شدن از یکدیگر هستند (شرط بحرانی). این نتایج با سهم باربری صفحات در انتهای تست کشش سازگار است.

مطالعه عددی حاضر با استفاده از یک روش مدل‌سازی سه‌بعدی و نرم‌افزار FLAC3D به مطالعه عددی ظرفیت باربری انکرهای مارپیچ چندصفحه پرداخته است. بدین منظور، ابتدا روش مدل‌سازی عددی با انجام یک تست صحبت‌سنجدی تایید شد. سپس یک مطالعه پارامتری با ۶۵ آنالیز انجام و تاثیر پارامترهای مختلف شامل تراکم و چسبندگی خاک، سربار، قطر و فاصله صفحات مارپیچ بر ظرفیت باربری انکرهای مارپیچ ارزیابی شد. همچنین سهم باربری اجزای انکر شامل صفحات و شفت مورد مطالعه قرار گرفت که کمتر در تحقیقات گذشته مورد توجه قرار گرفته است. نتایج مهم مطالعه حاضر عبارتند از:

- ظرفیت باربری انکرهای مارپیچ با افزایش تراکم خاک افزایش می‌یابد. همچنین افزایش سربار و قطر صفحه‌های مارپیچ موجب افزایش ظرفیت باربری انکرهای مارپیچ می‌شود.

در مجموع، چسبندگی خاک تاثیر زیادی بر ظرفیت باربری انکرهای مارپیچ ندارد. تاثیر چسبندگی خاک بر ظرفیت باربری انکرهای مارپیچ با افزایش تعداد صفحات افزایش می‌یابد. سهم باربری شفت در انکرهای مارپیچ چندصفحه کمتر از ۳۰٪ است که با افزایش تعداد و فاصله صفحات کاهش می‌یابد. برای نسبت‌های فاصله صفحات به قطر بزرگتر از ۵ ($S/D > 5$) در انکرهای مارپیچ چندصفحه، سهم باربری صفحات تقریباً برابر

۶- مراجع

-Itasca Consulting Group, I., (2017), FLAC3D 6.0 user manual.

-Kwon, O., J. Lee, G. Kim, I. Kim and J. Lee, (2019), "Investigation of pullout load capacity for helical anchors subjected to inclined loading conditions using coupled Eulerian-Lagrangian analyses", Computers and Geotechnics 111, pp. 66-75.

-Mahmoodi Mehrizi, M. E., Y. Daghighe and J. Nazari Afshar, (2014), "A review on using Helical anchors in supporting excavations",

-Abdrabbo, F. and A. El wakili, (2016), "Laterally loaded helical piles in sand", Alexandria Engineering Journal 55(4), pp. 3239-3245.

-Chance, (2004), "Helical pier foundation system", USA, Chance company.

-Harnish, J. and M. H. El Naggar, (2017), "Large-diameter helical pile capacity-torque correlations", Canadian Geotechnical Journal 54(7), pp. 968-986.

- Rawat, S. and A. K. Gupta, (2017), "Numerical modelling of pullout of helical soil nail", Journal of Rock Mechanics and Geotechnical Engineering 9(4), pp. 648-658.
- Sakr, M., (2009), "Performance of helical piles in oil sand", Canadian Geotechnical Journal 46(9), pp.1046-1061.
- Tokhi, H., G. Ren and J. Li, (2017), "Laboratory pullout resistance of a new screw soil nail in residual soil", 55(5), pp. 609-619.
- Second National Conference of Construction and Investigation in Construction Project, Semnan. (in persian)
- Papadopoulou, K., H. Saroglou and V., Papadopoulos, (2014), "Finite element analyses and experimental investigation of helical micropiles." Geotechnical and Geological Engineering 32(4), pp. 949-963.
- Perez, Z. A. and J. A. Sciavon, (2018), "Numerical and experimental study on influence of installation effects on behaviour of helical anchors in very dense sand", 55.

Numerical Study of Pullout Capacity of Helical Multiple Anchors for Supporting Excavations

*Mohammad Abdoli, M.Sc. Grad, Department of Civil Engineering, Yazd University,
Yazd, Iran.*

*Hamid Mehrnahad, Associate Professor, Department of Civil Engineering,
Yazd University, Yazd, Iran.*

*Mohammad Hazeghian, Assistant Professor, Department of Civil Engineering,
Yazd University, Yazd, Iran.*

E-mail: hmehrnahad@yazd.ac.ir

Received: September 2022- Accepted: February 2023

ABSTRACT

Today there are numeral methods for supporting an excavation. Using of helical multiple anchors as excavation support has speared recently. Because of wide range of applications of helical anchors, a massive number of experimental, numerical, and field studies have been carried out. This study works on the pullout capacity of helical multiple anchors by using FLAC 3D software. First, a verification test is carried out in order to confirm the method of simulation. Then, with the help of an extensive parametric study, the effect of different parameters on pullout capacity is observed. This study indicates that sharp growth in loading capacity is observed due to an increase in density of soil and diameter of helical plates. In addition, the results show that changes in the cohesion of soil have a few effects on the loading capacity of helical anchors. Moreover, the share of loading on the plates keeps remains if the space between plates is five times of helical plate diameter and more. In this situation, the failure mechanism is individual plate. Nevertheless, if the space between plates is less than five times of helical plate diameter, the share of loading on the first helical plate (near to excavation) goes up, but the share of loading on the rest helical plates drops dramatically. In this situation, cylindrical shear is the main failure mechanism. Therefore, the current study results demonstrate that the critical space between helical plates is five times of helical plate's diameter.

Keywords: Helical Multiple Anchors, Loading Capacity (Pullout), Numerical Modeling, FLAC 3D Software